

Ж С 53
А 92

АКАДЕМИЯ НАУК СОЮЗА ССР
ГОСУДАРСТВЕННЫЙ КОМИТЕТ
ПО ИСПОЛЬЗОВАНИЮ
АТОМНОЙ ЭНЕРГИИ СССР

АТОМНАЯ
ЭНЕРГИЯ

Ежемесячный журнал
год издания двенадцатый

АТОМИЗДАТ ■ МОСКВА ■ 1968

Том 24 ■ Июнь ■ Вып. 6

РЕДАКЦИОННАЯ КОЛЛЕГИЯ:

А. И. АЛИХАНОВ, А. А. БОЧВАР, А. П. ВИНОГРАДОВ, Н. А. ВЛАСОВ (зам. главного редактора),
И. Н. ГОЛОВИН, Н. А. ДОЛЖЕЖАЛЬ, А. П. ЗЕФИРОВ, В. Ф. КАЛИНИН, Н. А. КОЛОКОЛЬЦОВ
(зам. главного редактора), А. К. КРАСИН, А. И. ЛЕЙПУНСКИЙ, В. В. МАТВЕЕВ, М. Г. МЕШЕ-
РЯКОВ, М. Д. МИЛЛИОНИЦЫКОВ (главный редактор), П. Н. ПАЛЕЙ, Д. Л. СИМОНЕНКО,
В. И. СМИРНОВ, В. С. ФУРСОВ, В. Б. ШЕВЧЕНКО.

СОДЕРЖАНИЕ

СТАТЬИ

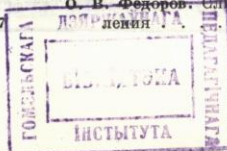
Н. В. Губкин, Д. Т. Десятников, И. К. Руднева. Преимущество применения метода подземного выщелачивания урана в условиях обводненных пластовых месторождений	511
А. И. Зубов, Г. Н. Котельников. Жильные твердые битумы в урановом месторождении	514
М. Х. Ибрагимов, А. В. Жуков. Метод расчета неравномерностей температур в пучках твэлов, охлаждаемых жидкими металлами	520
М. И. Ивановский, Ю. В. Милованов, В. И. Субботин. О характере зависимости коэффициента теплопередачи при капельной конденсации от температурного напора	523
И. Т. Мишев, М. Г. Христова. Исследование концентрации радиоактивного газа Ar ⁴¹ в воздухе, выбрасываемом через трубу реактора ИРТ-1000	530
И. А. Кондуров, А. И. Егоров, Д. М. Каминкер, Е. М. Коротких, А. М. Никитин. Измерение сечений захвата нейтронов радиоактивными ядрами Co ^{58m} , Cu ⁶⁴ и Sc ⁴⁶	533
В. И. Белоглазов, Ю. М. Базаев, А. К. Вальтер, В. А. Вишняков, Ф. С. Горюховатский, И. А. Гришаев, Ю. И. Добролюбов, Е. В. Еременко, А. И. Зыков, В. М. Кобаский, В. В. Кондратенко, Г. Ф. Куценко, Н. И. Мочешников, В. Б. Муфель, В. И. Мицков, В. В. Петренко. Линейный ускоритель электронов на 2 ГэВ Физико-технического института АН УССР	540
В. Б. Красовицкий, В. И. Курялко, М. А. Стражемечный. Неоднократная теория взаимодействия модулированного пучка с плазмой	545
Ю. В. Скостврев, Э. И. Юрченко. Движение пролетных частиц в системе с минимумом В	549
Ф. В. Кондратьев, Г. В. Синютин. Исследование работы цезиевого термоэмиссионного преобразователя с вольфрамовым катодом	553
В. С. Кессельман. Аналитические соотношения для расчета глубины проникновения ионов в вещество	557

АННОТАЦИИ ДЕПОНИРОВАННЫХ СТАТЕЙ

М. П. Леончук. Расчет переходных режимов парогенератора на ЦВМ	564
С. А. Коаловский, В. С. Кызыров, А. А. Сметанин. Определение потока быстрых нейтронов детектором ZnS(Ag) + плексиглас и детектором Бассона	564
В. А. Брикман, В. П. Савина. Исследование объемных полей поглощенных доз нейтронных излучений в полистиленовом образце	565
Б. А. Брикман, В. П. Савина. Экспериментальное исследование объемных полей поглощенных доз реакторного γ-излучения в полистиленовом образце	566
В. П. Громов, Ю. Ф. Зубов, Д. В. Позднеев. Рассеяние быстрых нейтронов железными и алюминиевыми барьерами	567

ПИСЬМА В РЕДАКЦИЮ

Л. И. Москвин, В. И. Портнягин. Влияние солей Na, K, Mg и Ca на экстракцию Ce и Y D2ЭГФК из кислых растворов	568
М. К. Юрт. Коррозия сталей и никелевых сплавов в расплавах натрийборосиликатных стекол при температурах 1000 и 1200° С	570
Г. Н. Маслов, Ф. Насыров, Н. Ф. Пашкин. Гаммаизлучение при взаимодействии нейтронов с энергией 14 МэВ с ядрами атомов B, C, N, O, F, Al	573
Г. И. Михайлов, Л. П. Старчик. Анализ лития по выходу реакции Li ⁷ (o, α')Li ^{7*}	575
В. А. Толстиков, В. П. Королева, В. Е. Колесов, А. Г. Довбенко, Ю. Н. Шубин. Радиационный захват быстрых нейтронов ядрами Sn ¹¹² , Sn ¹¹⁴ и Sb ¹²¹ , Sb ¹²³	576
Р. В. Джагаппани, Ю. Г. Лиакин, Л. И. Хейфец, В. И. Косоротов, В. И. Мукосей. Расчет коэффициента полезного действия шарового источника β-излучения	580
О. В. Федоров. Стодово-молибдатный тип зоны окисления ГА	582



1 235609
225473/m

тронам градуировочного спектра $\varepsilon_{\text{град}}$:

$$\Phi_{E>E_{\text{пор}}} = \frac{N}{\varepsilon_{\text{град}}} K,$$

где

$$K = \frac{\varepsilon_{\text{град}}}{\varepsilon} \cdot \frac{\int_{E_{\text{пор}}}^{\infty} \varphi(E) dE}{\int_{E_{\text{мин}}}^{\infty} \varphi(E) dE}.$$

Чувствительность детектора ε для спектра нейтронов $\varphi(E)$ можно определить, зная зависимость чувствительности от энергии нейтронов $\varepsilon(E)$:

$$\varepsilon = \frac{\int_{E_{\text{мин}}}^{\infty} \varepsilon(E) \varphi(E) dE}{\int_{E_{\text{мин}}}^{\infty} \varphi(E) dE}.$$

Коэффициент K вычислен графическим интегрированием для измерений указанными детекторами в спектрах нейтронов от источника деления в следующих защитных материалах: воде (10 и 120 см [3]), углероде (10 и 120 г/см² [3]), железе (30 и 49 см [4]), а также для измерений в спектре деления и спектрах нейтронов Рo — Вe и Рu — Вe-источников. Зависи-

мость чувствительности детекторов от энергии нейтронов исследовалась экспериментально. В качестве градуировочного спектра нейтронов для детектора ZnS(Ag) + плексиглас использовался спектр нейтронов Рo — Вe-источника, а для детектора Бассона — спектр нейтронов утечки из железной призмы толщиной 30 см.

При определении потоков быстрых нейтронов с энергией более 0,5—1,5 МэВ и промежуточных нейтронов с энергией менее 0,5—1,5 МэВ без учета коэффициента K максимальная ошибка в случае измерений детектором ZnS(Ag) + плексиглас в железе составляет 900% и при измерениях детектором Бассона в спектре деления — 500%.

(№ 207/4754. Поступила в Редакцию 11/III 1968 г. Полный текст 0,6 а. л., 10 рис., 2 табл., библиография 12 названий.)

ЛИТЕРАТУРА

1. В. С. Флонов. В сб. «Сборник работ по некоторым вопросам дозиметрии и радиометрии ионизирующих излучений». Под ред. Ю. В. Сивинцева. М., Госатомиздат, 1960, стр. 91.
2. J. Basson. Nucl. Instrum. and Methods, 22, 339 (1963).
3. Г. Гольдштейн. Основы защиты реакторов. М., Госатомиздат, 1961.
4. В. И. Бондаренко и др. «Атомная энергия», 18, 593 (1965).

Исследование объемных полей поглощенных доз нейтронных излучений в полиэтиленовом образце

Б. А. БРИСКМАН, В. П. САВИНА

УДК 539.125.5.173

В ряде работ, посвященных экспериментальному определению полей поглощенных доз (ППД) нейтронных излучений во внутреннеакторных условиях (например, [1, 2]), измерения проводились в фантомах из полиэтилена, полистирола или тканезквивалентного геля в горизонтальных каналах реакторов типа ВВР при помощи микронизационных измерений из полиэтилена и графита. При исследовании объемных ППД в объектах малых размеров, размещенных в вертикальных каналах ядерного реактора, возникают трудности, связанные с искажениями ППД детекторами излучений.

Экспериментально изучались ППД нейтронных излучений в вертикальных сухих каналах ядерного реактора типа ВВР для полиэтиленовых образцов с помощью диацетатцеллюлозных пленок. Геометрия образцов и методика эксперимента описаны в работе [3]. Как известно, поглощенная доза в полиэтилене, облучаемом в ядерном реакторе, представляет собой сумму доз γ -излучения D^γ и быстрых нейтронов D^n . По нашим расчетам, вклад тепловых нейтронов не превышает 2—3% (для толщины образца 5 см). Если известны относительные распределения D^γ/D_0^γ и $D^n/D_0^{n+\gamma}$ (индекс 0 относится к передней грани образца), отношение радиационно-химических выходов для рассматриваемых видов излучений (для используемых пленок $k = G_n/G_\gamma$) и состав m поглощенной дозы в исследуемом образце на его передней грани

$m = D_0^n/D_0^{n+\gamma}$, то имеет место соотношение

$$\frac{D^n}{D_0^n} = \frac{D^{n+\gamma}}{D_0^{n+\gamma}} - \frac{1-m}{km} \left(\frac{D^\gamma}{D_0^\gamma} - \frac{D^{n+\gamma}}{D_0^{n+\gamma}} \right).$$

В результате калориметрических измерений найдено, что величина k отличается от 1 не более чем на 10%.

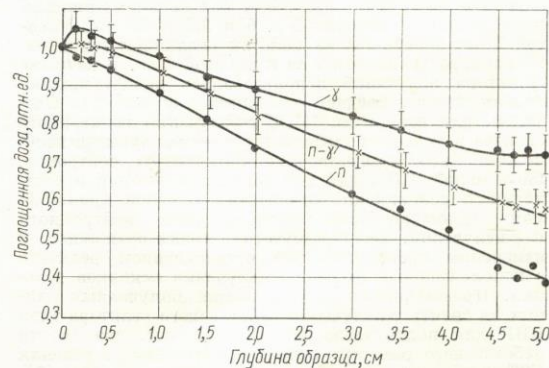


Рис. 1. Распределение поглощенной дозы в полиэтиленовом образце (эксперимент).

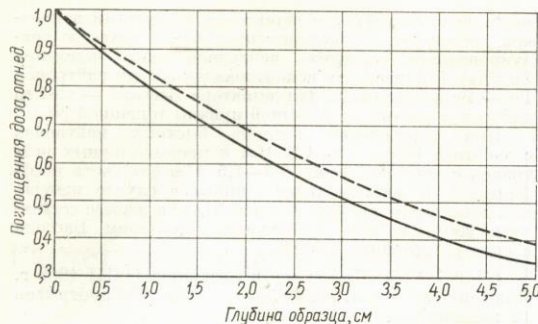


Рис. 2. Распределение поглощенной дозы нейтронного излучения в полистилене (расчет):
— транспортное уравнение; — — — метод Монте-Карло.

Величина m определялась также с помощью калориметрических измерений. Результаты определения величины D^n/D_0^n представлены на рис. 1. Методика определения величины D^n/D_0^n описана в работе [3]. Изменение ППД по высоте и ширине образца в пределах

ошибки опыта не обнаружено. Не обнаружено также влияние расстояния вертикального канала от активной зоны реактора на вид кривой ослабления нейтронной дозы.

ППД в полистиленовом образце ($\gamma = 0,92 \text{ г}/\text{см}^3$) определялось также расчетом: 1) с использованием транспортного уравнения в P_2 -приближении, 2) с использованием метода Монте-Карло с помощью ЭВМ. Результаты расчета приведены на рис. 2 и хорошо согласуются с экспериментальными данными. Можно сделать вывод, что длина релаксации в полистилене для поглощенной дозы в описанных условиях составляет примерно 5 см.

(№ 208/4678. Статья поступила в Редакцию 9/1 1968 г., аннотация — 11/III 1968 г. Полный текст 0,35 а. л., 5 рис., библиография 12 названий.)

ЛИТЕРАТУРА

- Б. М. Исаев, Ю. И. Брегадзе. Нейтроны в радиобиологическом эксперименте. М., «Наука», 1967.
- Б. Р. Кирчинский и др. В сб. «Биологическое действие нейронов излучения». Киев, «Наукова думка», 1965.
- Б. А. Брискман, В. П. Савина. См. настоящий выпуск, стр. 566.

Экспериментальное исследование объемных полей поглощенных доз реакторного γ -излучения в полистиленовом образце

Б. А. БРИСКМАН, В. П. САВИНА

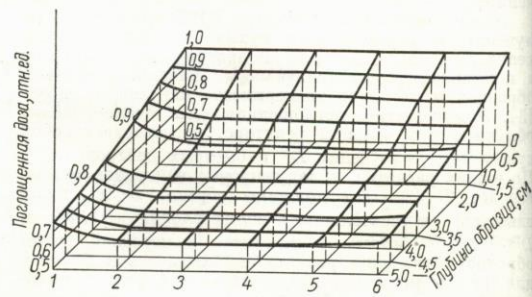
УДК 539.122.173

При проведении различных радиационно-химических, радиационно-физических и радиобиологических исследований, связанных с внутриреакторным облучением образцов определенной геометрии, весьма важно знать объемные поля поглощенных доз (ППД) излучений.

В настоящей работе изучались объемные ППД в полистиленовых образцах (полистилен высокого давления, $\gamma = 0,92 \text{ г}/\text{см}^3$), размещенных в вертикальных сухих каналах (диаметром 7,0–20 см) ядерного реактора типа ВВР на расстояниях 14–62 см от края активной зоны. Образцы имели вид параллелепипедов прямоугольного сечения 5×6 и $3,5 \times 3,5$ см, высотой 6 см, собранных из пластин различной толщины, и цилиндра диаметром 5 см и высотой 6 см. В качестве детектора излучений использовалась диацетатцеллюлозная пленка средней толщиной 130 мк [1]. Очевидно, для измерения ППД γ -излучений реакторного спектра в условиях смещения n — γ -излучений необходимо либо осуществление фильтрации нейтронов, либо знание ППД для нейтронных излучений и соотношения радиационно-химических выходов применяемой дозиметрической системы для нейтронного и γ -излучений. Ввиду отсутствия таких возможностей измерения проводились на остановленном реакторе с использованием фонового излучения осколков деления. Правомерность экстраполяции полученных данных на спектр γ -излучения работающего реактора типа ВВР для полистиэна обусловлена тем, что спектр работающего реактора отличается от спектра деления U^{235} в области энергий γ -квантов больше 2 МэВ [2], вклад которых в поглощенную дозу в полистилене весьма мал. Здесь преобладает комптоновское рассея-

ние. Спектр фонового γ -излучения определяется в течение первого часа после остановки реактора короткоживущими продуктами деления [3], что практически идентично спектру деления U^{235} .

Результаты измерений для одного из каналов в виде плоского поля доз представлены на рисунке. Ослабление дозы γ -излучения по глубине образца составляет примерно 30%. По высоте и ширине образца неравномерность ППД не превышает 4%. Предварительные опыты, проведенные с Co^{60} , показали наличие максимума на начальном участке кривой ослабления и относительно резкого спада на конечном участке этой кривой. В каналах реактора эти краевые эффекты



Поле поглощенных доз в среднем слое образца.